

ارزیابی سمیت نانوذرات نقره سنتز شده به روش سبز با عصاره آبی قارچ دنبلان بر روی رده سلولی سرطان پستان (MCF-7)

شهلا ندایی^۱، حسین اکبری^{۲*}، هاشم یعقوبی^۱(PhD)

۱- گروه زیست شناسی، واحد اردبیل، دانشگاه آزاد اسلامی، اردبیل، ایران

۲- گروه فیزیک، واحد اردبیل، دانشگاه آزاد اسلامی، اردبیل، ایران

دریافت: ۹۷/۶/۵ اصلاح: ۹۷/۹/۱۳ پذیرش: ۹۷/۹/۱۹

خلاصه

سابقه و هدف: نانوذرات نقره دارای فعالیت ضدیاکتری و ضد سرطان می‌باشد. اما حلال‌های آبی مورد استفاده برای تولید این نانوذرات سمی هستند و می‌توانند اثرات زیست محیطی مخربی داشته باشند. از این رو تمايل زیادی برای استفاده از روش‌های سالم برای سنتز نانوذرات نقره وجود دارد. لذا این مطالعه به منظور سنتز نانو ذرات نقره به روش زیستی از عصاره آبی قارچ دنبلان و بررسی اثرات بیولوژیکی آن بر روی سلول‌های سرطانی انجام شد.

مواد و روش‌ها: در این مطالعه تجربی جهت سنتز نانوذرات نقره از عصاره آبی قارچ دنبلان ۱۰ میلی لیتر محلول نیترات نقره ۱ میلی لیتر اضافه و به مدت ۷۲ ساعت در دمای اتاق سنتز شد. خواص فیزیکوشیمیایی نانوذرات سنتز شده با دستگاه‌های XRD و FESEM مورد آنالیز و بررسی قرار گرفتند. اثرات عصاره و نانو ذرات سنتز شده با روش MTT با غلظت‌های ۰/۰۶۲۵، ۰/۰۲۵، ۰/۰۲۵ و ۰/۰۵ میلی گرم بر میلی لیتر بر سلول‌های سرطانی رده MCF-7 در زمان‌های ۴۸ و ۷۲ ساعت بررسی شد.

یافته‌ها: اندازه نانو ذرات بین ۱۹ تا ۳۵ نانومتر و شکل آنها به طور عمده کروی شکل بود. در سنجش سمیت سلولی با روش MTT میزان IC50 محاسبه شده برای نانو ذرات نقره و عصاره در سلول‌های MCF-7 نشان داد که نانو ذرات نقره نسبت به عصاره اثرات سمیت سلولی بیشتر دارد. IC50 محاسبه شده برای عصاره و نانوذرات در زمان‌های ۴۸، ۲۴ و ۷۲ ساعت به ترتیب ۰/۰۵، ۰/۰۶۴ و ۰/۰۷۳ میلی گرم بر میلی لیتر و برای نانوذرات به ترتیب ۰/۰۵۶، ۰/۰۴۸ و ۰/۰۴۰ بدست آمد (p<0/05).

نتیجه گیری: نتایج مطالعه نشان داد که نانو ذرات نقره تولید شده به روش سبز دارای سمیت سلولی بیشتری نسبت به عصاره آبی قارچ دنبلان است.

واژه‌های کلیدی: نانو ذرات نقره، قارچ دنبلان، سنتز زیستی، MTT، سرطان سینه.

مقدمه

تولید نانوذرات رو به افزایش می‌باشد. موادی مانند گیاهان، جلبک‌ها، قارچ‌ها، مخممرها، باکتری‌ها و ویروس‌ها در تولید زیستی نانوذرات کاربرد دارند(۵). بیشتر قارچ‌هایی که تولید اندام با رده زیرزمینی می‌کنند از دسته آسکومیست‌ها بوده و تحت عنوان دنبلان *Truffle* شناسایی و معرفی می‌شوند. در این قارچ بیش از ۱۵ نوع پروتئین، گالیک اسید، کاتچین، فلاونوئید، تانین و برخی ترکیبات دیگر از جمله بتاکاروتون و لیتوئیک اسید شناسایی شده است. از خواص دارویی این قارچ بسیار ارزشمند می‌توان به درمان سرطان معده، هپاتیت A، B، C، نفریت، آرتروز، دردهای عصبی، بی خوابی، برونشیت، آسم، زخم معده، فشار خون و کلسترول بالا اشاره نمود(۶-۷). Al-Laith^۸ جهت بررسی اجزای آنتی اکسیدانی/آنتی رادیکالی قارچ خوارکی دنبلان بیان تهیه شده از بحرین، ایران، مراکش و عربستان مشخص شد که قارچ ایران بالاترین فعالیت آنتی اکسیدانی را دارد(۸). Zabihی^۹ از اثر عصاره هیدرولکلی قارچ دنبلان بر سطح هورمون استروژن و پروژسترون در

سرطان یک بیماری مهلک با مرگ و میر بالاست که در گیری‌های روانی و اقتصادی زیادی به دنبال دارد. نحوه زندگی و عوامل محیطی، از فاکتورهای مهم و مؤثر در بروز سرطان است(۱). با وجود درمان‌های مختلف مانند شیمی درمانی، اینمی درمانی و رادیوتراپی، سرطان هنوز به عنوان یک چالش مهم مطرح است. بنابراین توسعه روش‌های مؤثر، زیست سازگار و کم هزینه برای درمان سرطان ضروری می‌باشد(۲). در حال حاضر اعتقاد بر این است که نانوذرات نقره می‌توانند به عنوان یک عامل درمانی، علاوه بر استفاده در مبارزه با باکتری‌ها و اثر روی بیهوده زخم، برای مبارزه با ایز، ویروس‌ها و به خصوص سرطان نیز به کار بrede شوند(۳)، اما حلال‌های آبی مورد استفاده برای تولید این نانوذرات سمی هستند و می‌توانند اثرات زیست محیطی مخربی داشته باشند. از این رو تمايل زیادی برای استفاده از روش‌های سالم برای سنتز نانوذرات نقره وجود دارد(۴). یکی از روش‌های تولید نانوذرات، تولید به روش زیستی است و توجه به این روش برای

□ این مقاله حاصل از پایان نامه شهلا ندایی دانشجوی کارشناسی ارشد بیوشیمی دانشگاه آزاد اسلامی واحد اردبیل می‌باشد.

* مسئول مقاله: دکتر حسین اکبری

کشور انگلستان و میکروسکوپ الکترونی رویشی میدان گسیلی (Mira-Xmu) ساخت کشور چک) استفاده گردید.

بررسی اثر عصاره آبی و نانوذرات حاصل از قارچ دنبلان بر کشنندگی سلول های MCF-7: رده سلولی سرطان سینه (MCF-7) از بانک سلولی انتستیتو پاستور ایران تهیه شد و در محیط کشت 1640 RPMI حاوی ۱۰٪ سرم جنین گاوی (FBS) و ۱٪ آنتی بیوتیک (Pen/Strep) کشت داده شده و در انکوباتور با دمای ۳۷ درجه سانتی گراد، رطوبت ۹۵٪ و ۵٪ CO₂ نگهداری شدند. پس از رشد سلول های MCF-7 سلول ها توسط EDTA-Trypsin از کف فلاسک جداسازی شده و با تراکم ۷×۱۰^۳ بر میلی لیتر، سوسپانسیون شدند سپس مقدار ۲۰۰ میکرولیتر از سوسپانسیون حاصل بر هر کدام از چاهک های پلیت ۹۶ خانه اضافه شد. پلیت ها به مدت ۲۴ ساعت در انکوباتور با شرایط فوق الذکر نگهداری شدند تا سلول ها به کف پلیت بچسبند. سپس هر کدام از چاهک های پلیت ۹۶ خانه به طور جداگانه با مقدار متفاوت از عصاره آبی و نانوذرات نقره حاصل از قارچ دنبلان (۰/۱۲۵، ۰/۰۶۲۵، ۰/۰۵، ۰/۰۲۵) میلی گرم بر میلی لیتر) تیمار شدند و در مدت زمان های متفاوت (۲۴، ۴۸ و ۷۲ ساعت) در انکوباتور با دمای ۳۷ درجه سانتی گراد، رطوبت ۹۵٪ و ۵٪ CO₂ کشت رویی سلول ها خارج شده و به هر چاهک ۱۸۰ میلی لیتر محیط کشت بدون FBS به همراه ۲۰ میکرولیتر محلول MTT اضافه شد. سپس پلیت ها در انکوباتور با شرایط فوق الذکر نگهداری شدند.

پس از چهار ساعت انکوباسیون، محیط کشت هر کدام از چاهک ها تخلیه شد و به هر چاهک ۲۰۰ میکرولیتر DMSO اضافه گردید. به منظور محاسبه درصد زنده مانی سلول ها، ۱۰ دقیقه پس از تیمار سلول ها توسط DMSO، جذب هر کدام از چاهک های پلیت ۹۶ خانه توسط دستگاه الایزرایدر و در طول موج ۵۷۰ نانومتر اندازه گیری شد. در این آزمون از محلول DMSO به عنوان بلانک و سلول های بدون تیمار با عصاره آبی و نانوذرات حاصل از گیاه دنبلان، به عنوان گروه کنترل استفاده شد. درصد سلول های زنده با استفاده از معادله زیر برای هر ردیف محاسبه شد:

$$\frac{\text{میانگین جذب نوری سلولهای تیمار شده}}{\text{میانگین جذب نوری سلولهای شاهد}} \times 100 = \text{درصد زنده مانی سلولها}$$

به منظور تجزیه و تحلیل نتایج حاصل از این تحقیق از نرم افزار SPSS ۲۲ و آزمون آماری آنالیز واریانس یک طرفه (one way ANOVA) و از آزمون Tukey استفاده گردید. تمامی تست ها حداقل در سه تکرار انجام شد و $p < 0.05$ معنی دار در نظر گرفته شد.

یافته ها

سترن و طیف سنجی ماوراء بنفش مرئی نانوذرات: پس از انجام سنتر زیستی، محلول حاصل از زرد کمرنگ به قهوه ای روشن تغییر رنگ داد. با توجه به اینکه یکی از نشانه های احیای یون های نقره در فرآیند تولید نانوذرات نقره، تغییر رنگ آن به قهوه ای روشن می باشد، علاوه بر این محنتی های حاصل از طیف سنجی

مدل تجربی مالتیپل اسکلرولزیس موش صحرایی ماده را مورد مطالعه قرار داده و نتایج نشان داد که عصاره هیدرولالکلی دنبلان میزان استروژن و پروژنسترون را در موشهای مدل تجربی مالتیپل اسکلرولزیس افزایش می دهد (۹). نانوذرات با افزایش اثر بخشی درمانی و کاهش سمیت ناخواسته ای دارو های ضد سرطانی مورد توجه قرار گرفته اند و با توجه به اینکه در سنتر نانوذرات روش های شیمیایی و فیزیکی به طور کلی گران، زمان بر و برای محیط زیست خطرناک است استفاده از قارچ ها، باکتری ها، گیاهان و جلبک ها (به عنوان واسطه در سنتر نانوذرات از ترکیبات معدنی) می تواند روش دیگر در کنار روش های شیمیایی و فیزیکی برای تولید نانوذرات باشد. تولید زیستی نانوذرات، ریسک خطر پذیری برای انسان، هوا و در مجموع اکوسیستم را پایین می آورد (۱۰ و ۱۱). این مطالعه به منظور سنتر آبی نانوذرات نقره با استفاده از عصاره قارچ دنبلان در مدت زمان ۷۲ ساعت و بررسی فعالیت ضد سرطانی آن بر روی سلول های سرطانی پستان MCF-7 با روش MTT انجام شد.

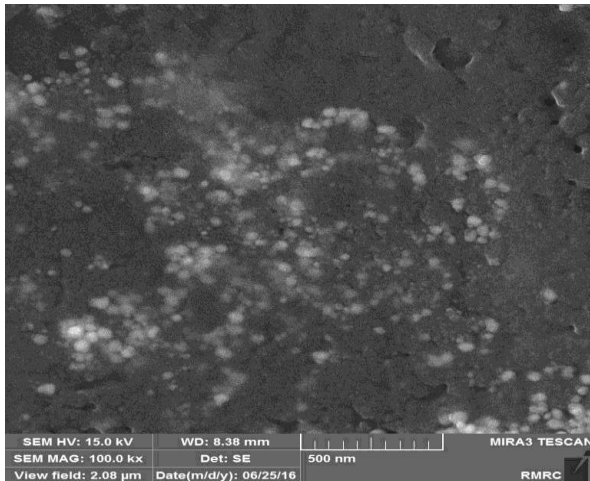
مواد و روش ها

تهیه عصاره آبی از قارچ (*Tuber spp.*): این مطالعه تجربی کاربردی از فروردین تا شهریور ماه سال ۱۳۹۶ انجام گرفت. بدین منظور قارچ دنبلان (*Tuber spp.*) از شهر مشگین استان اردبیل (از جهاد کشاورزی استان) تهیه شد. سپس با آب مقطر به خوبی شستشو و به قطعات ریز خرد و در محیط تاریک قرار داده شد تا به طور کامل خشک شوند. جهت تهیه عصاره آبی از قارچ دنبلان، ۱۰۰ میلی لیتر آب مقطر دوبار تقطیر شده به ۱۰۰ گرم قارچ اضافه شد. سپس به مدت ۱۰ دقیقه در دمای ۹۰ درجه سانتی گراد جوشانده شد. عصاره آبی حاصل پس از سرد شدن توسط کاغذ صافی و اتمن شماره ۱ تخلیص و در یخچال نگهداری شد.

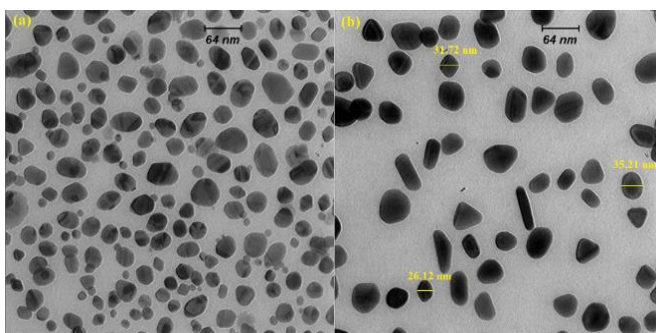
سنتر نانوذرات نقره از عصاره قارچ (*Tuber spp.*): جهت سنتر نانوذرات نقره از عصاره آبی قارچ دنبلان، میزان ۱۰ میلی لیتر از عصاره آبی قارچ دنبلان به ۹۰ میلی لیتر محلول نیترات نقره ۱ میلی مولار اضافه شد سپس به مدت ۷۲ ساعت در دمای اتاق و بر روی شیکر (دور ۲۰۰ rpm) نگهداری شد. میزان جذب محلول با استفاده از دستگاه اسپکتروفوتومتر UV2550 ساخت کشور ژاپن در محدوده ۳۰۰-۷۰۰ نانومتر مورد بررسی قرار گرفت. نانوذرات حاصل توسط سانتریفیوژ (دور rpm ۱۲۰۰۰ به مدت ۱۵ دقیقه) جداسازی شده و پس از خشک شدن در دمای اتاق، درون ظرف شیشه ای در بسته قرار گرفته و تا زمان استفاده در تاریکی نگهداری شدند.

تیین ویژگی فیزیکوشیمیایی نانوذرات نقره: به منظور تعیین اندازه، خواص ساختاری، خواص اپتیکی، مورفولوژی و ریخت شناسی نانوذرات نقره سنتر شده از عصاره قارچ دنبلان (*Tuber spp.*), بترتیپ از دستگاه های پراش اشعه ایکس (FESEM) و میکروسکوپ الکترونی رویشی میدان گسیلی (XRD) استفاده گردید. همچنین ثابت های کریستالی نانوذرات نقره با استفاده از دستگاه پراش سنج پودری اشعه ایکس (XRD) Philips X'pert Pro ساخت کشور هلند و جهت بررسی مرفولوژی، اندازه و همچنین توزیع پراکنده نانوذرات نقره سنتر شده از عصاره قارچ دنبلان، به ترتیب از میکروسکوپ الکترونی رویشی (TEM) (LEO-912AB) (۱۲).

نانوذرات نقره توسط میکروسکوپ الکترونی TEM نشان داد، اکثر نانوذرات حاصل دارای اندازه‌های در محدوده ۲۶ تا ۳۵ نانومتر بودند (شکل ۴).



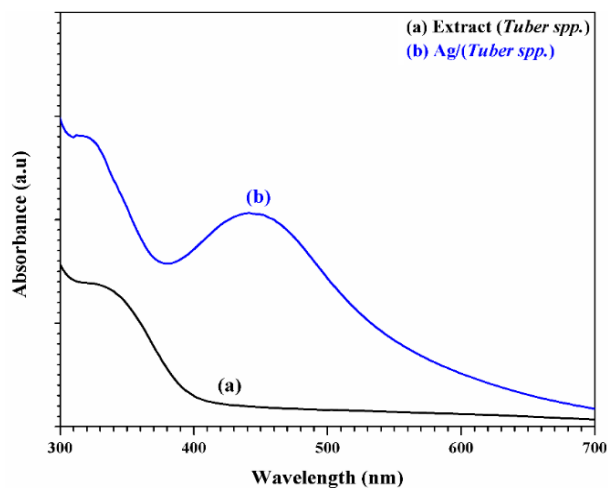
شکل ۳. تصاویر FESEM نانوذرات سنتز شده از عصاره آبی (*Tuber spp.*)



شکل ۴. a, b) تصاویر TEM نانوذرات نقره سنتز شده از عصاره آبی (*Tuber spp.*)

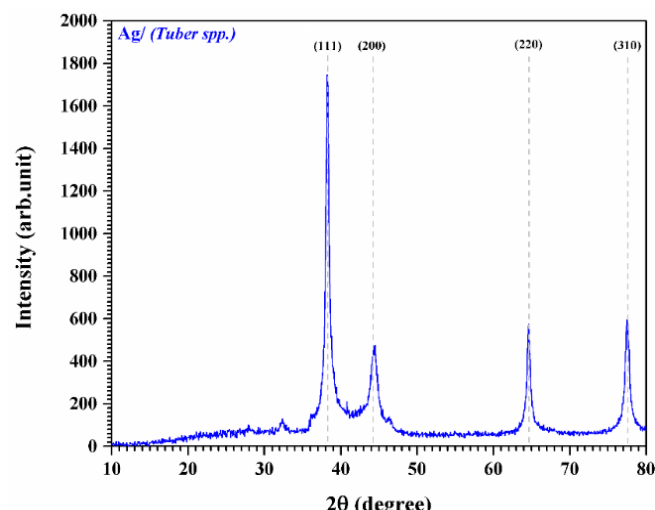
بررسی تاثیر نانوذرات نقره و عصاره آبی حاصل از قارچ دنبلان بر کشنندگی سلول‌های MCF-7: نتایج حاصل نشان داد بین افزایش غلظت هر کدام از تیمارهای با غلظت‌های مختلف نانوذرات نقره و عصاره آبی حاصل از قارچ دنبلان و درصد کشنندگی سلول‌های MCF-7 رابطه خطی و معنی‌داری وجود دارد، به نحوی که با افزایش غلظت هر کدام از تیمارهای فوق الذکر، درصد کشنندگی سلول‌های MCF-7 افزایش یافت (نمودار ۱). بطوریکه با افزایش غلظت نانوذرات و عصاره آبی حاصل از قارچ دنبلان از ۰/۰۶۵ میلی‌گرم بر میلی‌لیتر به ۱ میلی‌گرم بر میلی‌لیتر پس از ۴۸ ساعت تیمار با سلول‌های MCF-7، میزان زنده‌مانی سلول به ترتیب ۶۵ و ۴۸ درصد کاهش یافت. همچنین این نتایج نشان داد نانوذرات نقره حاصل از عصاره آبی قارچ دنبلان، تاثیر کشنندگی بالاتری بر سلول‌های سرطانی MCF-7 در مقایسه با عصاره آبی قارچ گیاه دنبلان دارد به گونه‌ای که در نسبت وزنی برابر با ۱/۲۵ + در مدت زمان تیمار ۴۸ ساعت، درصد زنده‌مانی در سلول‌های MCF-7 پس از تیمار با عصاره آبی و نانوذرات نقره حاصل از قارچ دنبلان به

اسپکتروفوتومتری توسط دستگاه UV-Vis از عصاره آبی و نانوذرات حاصل از قارچ دنبلان پیک نسبتاً قوی در محدوده ۴۰۰ الی ۴۵۰ نانومتر تشکیل شد (شکل ۱).



شکل ۱. جذب اسپکتروفوتومتری a) نانوذرات نقره (UV-Vis) b) عصاره (Tuber spp.)

بررسی نانوذرات نقره توسط طیف XRD: طیف پراش پرتو اشعه ایکس نانوذرات سنتز شده در زمان ۷۲ ساعت نشان داد که پیک‌های مشاهده شده در زوایای ۳۸/۲۲ درجه، ۴۴/۱۹، ۴۴/۶۰، ۴۴/۵۱ و ۷۷/۵۱ درجه به ترتیب مطابق با صفحات کربیتانی (۱۱۱)، (۲۰۰)، (۳۱۰) و (۲۲۰) می‌باشند که این نتایج منطبق بر طیف استاندارد بالک نقره بودند (شکل ۲).

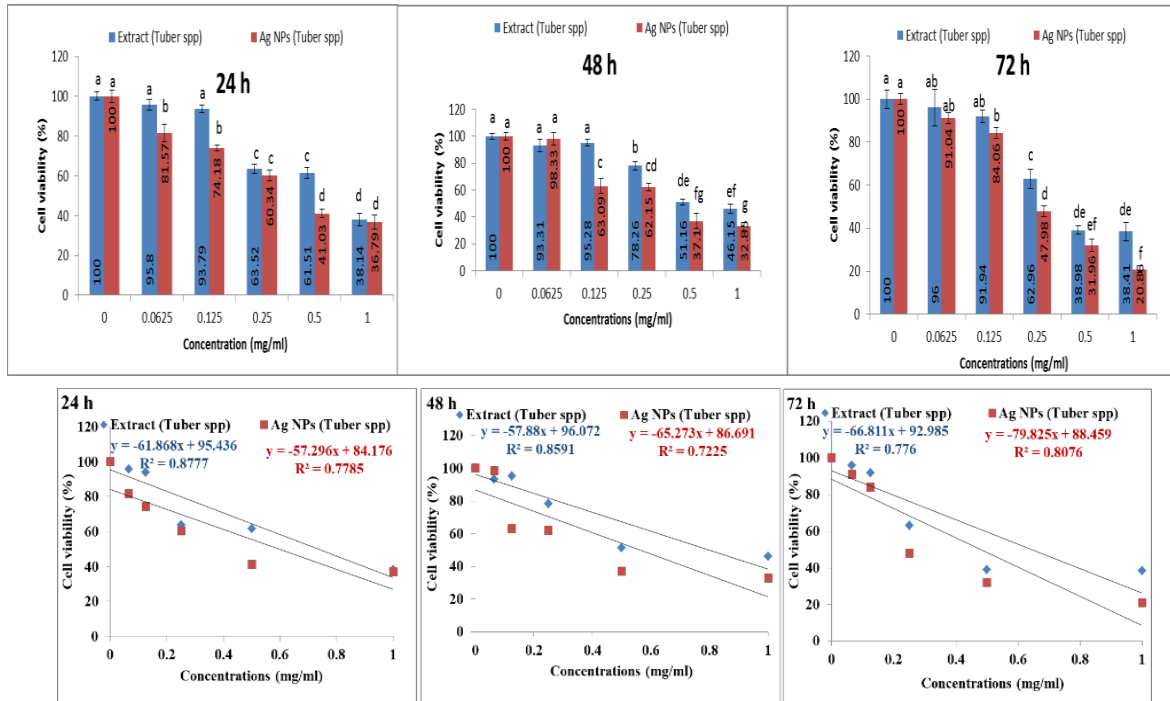


شکل ۲. الگوی پراش اشعه ایکس XRD از نانوذرات نقره سنتز شده در مدت زمان ۷۲ ساعت از عصاره قارچ دنبلان (*Tuber spp.*)

بررسی خصوصیات مرفو‌لوزیکی نانوذرات نقره توسط میکروسکوپ‌های الکترونی TEM و FESEM: تصاویر میکروسکوپ الکترونی رو بشی گسیل میدانی (FESEM) نانوذرات نقره حاصل از عصاره آبی قارچ دنبلان از ساختار کروی و یکنواختی نسبتاً بالایی برخوردار بودند (شکل ۳)، در تصویربرداری نانوذرات نقره توسط میکروسکوپ TEM علاوه بر ساختار کروی مقدار کمی از نانوذرات در اشکال مثلثی، بیضوی و میله‌ای نیز مشاهده شدند. نتایج حاصل از بررسی اندازه

عصاره آبی قارچ دنبلان در مدت زمان‌های ۲۴، ۴۸ و ۷۲ ساعت به ترتیب برابر با $۰/۷۳$ ، $۰/۶۴$ و $۰/۸$ میلی‌گرم بر میلی‌لیتر بود در صورتی که این میزان برای نانوذرات نقره حاصل از عصاره آبی قارچ دنبلان به ترتیب برابر با $۰/۵۶$ ، $۰/۴۸$ و $۰/۴۸$ میلی‌گرم بر میلی‌لیتر بود(جدول ۱).

ترتیب برابر با ۹۵ و ۶۳ درصد بود. ره حاصل از قارچ دنبلان چهت کشندگی ۵۰ IC50 درصد از سلول‌های MCF-7 (IC50)، روند مشابهی را نشان داد. میزان بدست آمده از نانوذرات نقره حاصل از عصاره آبی قارچ دنبلان به طور معنی‌داری پایین‌تر از عصاره آبی قارچ گیاه دنبلان بود. به عنوان مثال میزان IC50 برای



نمودار ۱. مقایسه میانگین تأثیر غلظت‌های مختلف عصاره آبی و نانوذرات حاصل از قارچ دنبلان بر زنده‌مانی سلول‌های MCF-7 در مدت زمان‌های ۲۴، ۴۸ و ۷۲ ساعت و میانگین زنده‌مانی سلول‌های MCF-7 (تمامی تیمارها در ۳ تکرار انجام شد، حرف کوچک غیر مشترک نشان دهنده معنی‌داری در سطح احتمال ۵ درصد می‌باشد)

جدول ۱. مقدار IC50 محاسبه شده در مدت زمان‌های ۲۴، ۴۸ و ۷۲ ساعت بر روی سلول‌های MCF-7

Variable	Time	24 h (mg/ml)	48 h (mg/ml)	72 h (mg/ml)
Extract (Tuber spp)	۰/۷۳	۰/۸	۰/۶۴	
Ag NPs (Tuber spp)	۰/۶	۰/۵۶	۰/۴۸	

زرد به قهوه‌ای پرنگ نشان دهنده اجیای یون‌های نقره و تشکیل نانوذرات بود که اولین نشانه از تولید نانوذرات نقره محسوب می‌شود که این تغییر رنگ ناشی از ارتعاشات پلاسماون سطحی در نانوذرات است. نتایج نشان داد که a_{max} در حدود ۴۵ نانومتر است که با نتایج سایر محققین هم خوانی دارد(۱۵ و ۱۶). سایز کریستالی نانوذرات نقره از رابطه شر $D = \frac{k\lambda}{Bcos\theta}$ به دست می‌آید که اندازه کریستالی نانوذرات برابر با ۲۵ نانومتر است. که این یافته با نتایج حاصل از پژوهش سایر محققین هم خوانی دارد(۱۵). تصاویر میکروسکوپ الکترون روبشی گسل میدانی نانوذرات نقره سنتز شده نشان داد که شکل نانوذرات کاملاً کروی بوده و توزیع نانوذرات نیز یکنواخت می‌باشد. اندازه تقریبی نانوذرات ۷۲ ساعت حدود $۲۶/۸$ نانومتر می‌باشد. تصویر TEM نشان داد که نانوذرات به طور عمد کروی شکل است اما اشکال دیگر مانند مثلثی هم در تصویر مشاهده می‌شود و اندازه آن‌ها بین ۲۶ تا ۳۵ نانومتر است. البته تغییرات دما و pH و مدت زمان و غلظت‌های مختلف

بحث و نتیجه گیری

در این مطالعه مشخص شد که عصاره قارچ دنبلان قادر به احیای یون Ag^+ به نانو ذرات نقره می‌باشد. همچنین نانو ذرات نقره تولید شده به روش زیستی دارای سمیت سلولی بیشتری بر روی سلول‌های سلطانی رده MCF-7 هستند. *Azadirachta indica* و همکاران تولید نانوذرات نقره توسط گیاه *Shankar* را انجام داده‌اند. این گروه اندازه نانوذرات را بین ۵ تا ۳۵ نانومتر و شکل آن‌ها را کروی گزارش کردند(۱۲). *Sankar* و همکارانش نانوذرات نقره را به روش زیستی از عصاره نوعی مرزنگوش به نام *Origanum vulgare* سنتز کردند. پس از عصاره گیری از گیاه، محلول نیترات نقره ۱ میلی مولار را با نسبت ۱ به ۹ با عصاره ترکیب نموده و پس از ۱۵ دقیقه تغییر رنگ مشاهده شد و آنالیز UV-vis یک پیک جذبی در ۴۰ نانومتر را نشان داد. اندازه و شکل نانوذرات با استفاده از دستگاه SEM حدود $۶۳-۸۵$ نانومتر و کروی تعیین شد(۱۳). تغییر رنگ مشاهده شده از

کاسپیاز ۳ در سلول های سرطانی و القاء مرگ برنامه ریزی شده سلولی در مطالعات مختلف نشان داده شده است (۱۸و۱۹). بنابراین با توجه به میزان فعالیت بالای میتوکندری در فرآیند تنفس سلول های سرطانی نسبت به سلول های طبیعی، بستر مناسبی برای عنصر نقره جهت تخریب سلول های سرطانی فراهم می شود. نتایج نشان داد عصاره قارچ دنبلان قادر به احیای یون Ag^{+} به نانوذرات نقره می باشد. همچنین نانوذرات نقره تولید شده به روش سبز سمیت سلولی بیشتری نسبت به عصاره قارچ دارد، این اثر از مکانیسمی پیش می رود که مانع پیشرفت چرخه سلولی از G1 به مرحله S و افزایش مرگ سلولی و آپوپتوز در سلول های MCF7 می شود، در ضمن نانوذرات نقره سنتز شده به روش زیستی می تواند به عنوان راهکاری مناسب در درمان سرطان استفاده شود ولی نیاز به انجام کارهای تکمیلی و تحقیقاتی زیادی است.

تقدیر و تشکر

بدینوسیله از حمایتهای دانشگاه آزاد اسلامی واحد اردبیل و همچنین از زحمات همکاران مرکز تحقیقات سلول های بنیادی دانشگاه جهت همکاری در این تحقیق، تقدیر و تشکر می گردد.

بر هم کنش محلول نمکی و عصاره مورد نظر می تواند بر روی دامنه تغییرات اندازه نانوذرات تاثیر داشته باشد(۱۳). نتایج بررسی های حاصل از آزمون MTT نشان داد که با افزایش مدت زمان تیمار به ۷۲ ساعت اثرات سمیت سلولی بیشتر شده است. به طور کلی می توان گفت که نانوذرات می توانند به صورت وابسته به غلظت و زمان منجر به کاهش زیست پذیری سلول ها شوند. شکل نانوذرات بر میزان سطح تماس و رهایش یون نقره اثر گذار خواهد بود. از آن جا که تمایل پروتئین ها برای پیوستن به لبه های نوک تیز بیشتر است، از این رو تمایل به چسیندگی به ذرات مکببی یا مثلثی بیشتر خواهد بود (۱۶). در طالعه ای Devi و همکاران سنتز نانوذرات نقره از طریق احیای گیاهی *Ulva lactuca* با سایز بین ۲۰ تا ۵۵ نانومتر را ارائه نمودند و اثرات ضدسرطانی آن روی رده های HT29، MCF-7، HepG2 و سلول نرمал را نشان دادند. در تحقیق آنها اثرات سمیت بیشتر با مقدار ۱۲/۵ میکروگرم بر میلی لیتر در ۲۴ ساعت تیمار در مورد رده سلولی سرطان کبد نسبت به رده های دیگر و رده سلول نرمال مشاهده شد(۱۷). در نانوذرات نقره سنتز شده در این پژوهش، شکل مثلثی هم مشاهده می شود که می تواند یکی از دلایل کشنده ای این نانوذرات باشد. مسیر مرگ سلولی می تواند شامل فعال سازی رویدادهای پروآپوتیک اندامک میتوکندری در سلول باشد که با آزادسازی سیتوکروم C از آن آغاز می شود. علاوه بر این اثرات نانوذرات نقره در افزایش بیان ژن پروتئاز

Cytotoxicity Effects of Green Synthesized Silver Nanoparticles by Using the Extract of Tuber Spp. on Breast Cancer (MCF-7) Cells

Sh. Nedaei (MSc)¹, H. Akbari (PhD) *², H. Yaghoubi (PhD)¹

1. Department of Biology, Ardabil Branch, Islamic Azad University, Ardabil, I.R.Iran

2. Department of Physics, Ardabil Branch, Islamic Azad University, Ardabil, I.R.Iran

J Babol Univ Med Sci; 21; 2019; PP: 242-48

Received: Aug 27th 2018, Revised: Dec 4th 2018, Accepted: Jan 9th 2019.

ABSTRACT

BACKGROUND AND OBJECTIVE: Silver nanoparticles have antibacterial and anticancer activity. But the organic solvents used to produce these nanoparticles are toxic and can have devastating environmental effects. Therefore, there is a strong desire to use healthy methods for the synthesis of silver nanoparticles. Therefore, this study was performed to synthesize silver nanoparticles biologically from aqueous extract of Truffle and to study their biological effects on cancer cells.

METHODS: In this experimental study, to synthesize silver nanoparticles from aqueous extract of Truffle, 10 ml of fungus extract was added to 90 ml of 1 ml silver nitrate solution and incubated for 72 hours at room temperature. The physicochemical properties of the nanoparticles synthesized by XRD, FESEM and TEM were analyzed. Effects of Extract and Synthesized Nanoparticles were studied by MTT at concentrations of 0.025, 0.25, 0.25, 0.5 and 1 mg / ml on MCF-7 Cancer Cells at 72, 48, and 24 hours.

FINDINGS: The size of the nanoparticles was between 19 and 35 nm and their shape was mainly spherical. In cytotoxicity assay using MTT assay IC50 calculated for silver nanoparticles and extract in MCF-7 cells showed that silver nanoparticles had more cytotoxic effects than extract. The calculated IC50 for extracts and nanoparticles at 24, 48 and 72 hours were 0.73, 0.8, and 0.64 mg / ml, respectively, and for the nanoparticles were 0.6, 0.5, and 0.48, respectively ($p < 0.05$).

CONCLUSION: The silver nanoparticles produced by bio-synthesis method have a higher cytotoxicity than the truffle fungus (*Tuber spp.*) extract.

KEY WORDS: *Silver Nanoparticles, Truffle Fungus(Tuber spp.), Bio-synthesis, MTT, MCF-7 Cell Line.*

Please cite this article as follows:

Nedaei Sh, Akbari H, Yaghoubi H. Cytotoxicity Effects of Green Synthesized Silver Nanoparticles by Using the Extract of Tuber Spp. on Breast Cancer (MCF-7) Cells. J Babol Univ Med Sci. 2019;21:242-48.

* Corresponding Author: H. Akbari (PhD)

Address: Department of Physics, Ardabil Branch, Islamic Azad University, Basij Sq., Ardabil, I.R.Iran

Tel: +98 45 33722021

E-mail: yaghoubi_h@iauardabil.ac.ir

References

1. Wu S, Powers S, Zhu W, Hannun YA. Substantial contribution of extrinsic risk factors to cancer development. *Nature*. 2016; 529(7584): 43-7.
2. El kassas HY, Attia AA. Bactericidal application and cytotoxic activity of biosynthesized silver nanoparticles with an extract of the red seaweed pterocladiella capillacea on the Hep G2 cell line. *Asian Pac J Cancer Prev*. 2014; 15(3): 1299-306.
3. Hekmat A, Saboury AA, Divsalar A. The effects of silver nanoparticles and doxorubicin combination on DNA structure and its antiproliferative effect against T47D and MCF-7 cell line. *J Biomed Nanotechnol*. 2012; 8(6):968-82.
4. Jeyaraj M, Sathishkumar G, Sivanadhan G, Mubarak Ali D, Rajesh M, Arun R, et al. Biogenic silver nanoparticles for cancer treatment on experimental report. *Colloids Surf B Biointerfaces*. 2013; 106: 86-92.
5. Thakkar KN, Mhatre SS, Parikh RY. Biological synthesis of metallic nanoparticles. *Nanomedicine*. 2010; 6(2): 257-62.
6. Slama A, Neffati M, Boudabous A. Biochemical composition of truffle Terfezia boudieri chitin. *Acta Hort*. 2010; 853: 285-90.
7. Dundar A, Yesil OF, Acay H, Okumus V, Ozdemir S, Yildiz A. Antioxidant properties, chemical composition and nutritional value of Terfezia boudieri (chitin) from Turkey. *Food Sci Technol Int*. 2012; 18(4): 317-28.
8. Al-Laith AAA. Antioxidant components and antioxidant/antiradical activities of desert truffle (*tirmania nivea*) from various Middle Eastern origins. *J Food Compos Analys*. 2010; 23(1): 15-22.
9. Zabihi E, Motavallibashi SE, Bamdad Kh, Pilevaribadi F, Sheikhkanlou Milan H. The effect of hydroalcoholic extract of truffle on estrogen and progesterone levels in experimental model of multiple sclerosis (ms) in female rats. *Arak Med Univ J*. 2017; 20(3): 48-56. [In Persian]
10. Salehi S, Shandiz SA, Ghanbar F, Darvish MR, Ardestani MS, Mirzaie A, et al. Phyto-synthesis of silver nanoparticles using Artemisia marschalliana Sprengel aerial parts extract and assessment of their antioxidant, anticancer, and antibacterial properties. *Int J Nanomedicine*. 2016; (11): 1835-46.
11. Singh H, Du J, Yi TH. Green and rapid synthesis of silver nanoparticles using *Borago officinalis* leaf extract: anticancer and antibacterial activities. *Artif Cells Nanomed Biotechnol*. 2016; 45(7): 1310-6
12. Shankar SS, Rai A, Ahmad A, Sastry M. Rapid synthesis of Au, Ag and bimetallic Au core-Ag shell nanoparticles using Neem (*Azadirachta indica*) leaf broth. *J Colloid Interface Sci*. 2004; 275(2): 496-502.
13. Sankar R, Karthik A, Prabu A, Karthik S, Shivashangari KS, Ravikumar V. *Origanum vulgare* mediated biosynthesis of silver nanoparticles for its antibacterial and anticancer activity. *Colloids Surf B Biointerfaces*. 2013; 1(108): 80-4.
14. Patil MP, Kim GD. Eco-friendly approach for nanoparticles synthesis and mechanism behind antibacterial activity of silver and anticancer activity of gold nanoparticles. *Appl Microbiol Bio-technol*. 2017; 101(1): 79-92.
15. Aboelfetoh EF, El-Shenody RA, Ghobara MM. Eco-friendly synthesis of silver nanoparticles using green algae (*Caulerpa serrulata*): reaction optim-ization, catalytic and antibacterial activities. *Environ Monit Assess*. 2017; 189(7): 349.
16. Rai M, Yadav A, Gade A. Silver nanoparticles as a new generation of antimicrobials. *Biotechnol Adv*. 2009; 27(1): 76-83.
17. Devi SJ, Bhimba BV. Anticancer activity of silver nanoparticles synthesized by the seaweed *ulva lactuca* invitro. *Sci Rep*. 2012; 1(4):1-5.
18. Khatami M, Kharazi S, Kishani Farahani Z, Azizi H, Augusto Lima Nobre M. The anti-cancer effect of octagon and spherical silver nanoparticles on MCF-7 breast cancer cell line. *Tehran Univ Med J*. 2017; 75 (1):72-6. [In Persian]
19. Riaz Ahmed KB, Nagy AM, Brown RP, Zhang Q, Malghan SG. Silver nanoparticles: Significance of physicochemical properties and assay interference on the interpretation of in vitro cytotoxicity studies. *Toxicol In Vitro*. 2017; 38: 179-92.